

독활로부터 항치아우식 활성을 가진 stigmasterol 분리

유현희 · 문해닮아¹ · 황지영¹ · 김선영¹ · 정승일² · 전병훈³ · 유용욱^{1*}

군산대학교 식품영양학과, 1:원광대학교 치과대학 구강생화학교실, 2:전주생물소재연구소, 3:원광대학교 한의과대학 병리학교실

Isolation of Anti-cariogenic Agent, Stigmasterol, from *Aralia continentalis*

Hyeon Hee Yu, Hae Dalma Moon¹, Ji Young Hwang¹, Seon Young Kim¹,
Seung Il Jeong², Byung Hun Jeon³, Yong Ouk You^{1*}

Department of Food and Nutrition, Kunsan National University,

1:Department of Oral Biochemistry and VCRC, School of Dentistry, Wonkwang University, 2:Jeonju Biomaterials Institute,

3:Department of Pathology, College of Oriental Medicine, Wonkwang University

In the present study, we has been isolated the anti-cariogenic component, stigmasterol, from *Aralia continentalis* (*A. continentalis*) and identified by MS, ¹H-NMR and ¹³C-NMR and also investigated the anti-cariogenic properties of stigmasterol. The methanol extract of *A. continentalis* showed concentration-dependent inhibitory activity against the growth and acid production of *S. mutans*. The MeOH extract was suspended in H₂O and sequentially partitioned with n-hexane, CHCl₃, EtOAc, and n-BuOH. The CHCl₃ fraction showed remarkable antibacterial activity against *S. mutans*. The anti-cariogenic compound, stigmasterol, has been isolated successively through the screening system and various chromatography methods. Anti-cariogenic properties of stigmasterol were also investigated. From this active chloroform subfraction, isolation and identification finally gave (24E)-stigmasta-5,22-dien-3 β -ol (stigmasterol) $[\alpha]_D^{25}$: -48.33^o(c 0.28, CHCl₃) by spectroscopic methods (MS, ¹H-NMR and ¹³C-NMR) as an active principle. The compound, stigmasterol, showed significant growth, acid production, adhesion and water-insoluble glucan synthesis inhibitory effect against *S. mutans*. These results suggest that stigmasterol from *A. continentalis* may inhibit cariogenic properties of *S. mutans* and these properties may provide some scientific rationales that the local inhabitants used the extracts for treatment of dental diseases.

Key words : *Aralia continentalis*, stigmasterol, dental caries, *Streptococcus mutans*

서 론

사회가 발전함에 따라서 건강과 삶의 질의 향상이 중요한 사회적 관심 사항으로 대두되고 있고, 특히 구강건강향상은 삶의 질 향상과 밀접한 관련이 있다. 우식경험영구치지수 (DMFT index)는 세계 각 국의 국민구강건강상태를 비교하는 대표적인 지표로 자주 사용될 정도로 중요한 의미를 지니는 지표이다. 12 세 아동의 우식경험영구치지수가 1972년에 0.6개¹⁾이었고, 1979년에는 2.2개 (도시 2.5개^{2,3)}, 비도시 1.7개⁴⁾)이었으며, 1990년에는 3.0개 (도시 2.9개, 비도시 3.3개⁵⁾)이었고, 1995년에는 3.1개 (도시 3.0개, 비도시 3.6개⁶⁾)이었고, 2003년에는 3.25개 (대도시 3.41개,

중소도시 3.32개, 농어촌 2.57개⁷⁾)로 1970년대 이후 대다수 OECD국가들에서 12세 우식경험영구치지수가 80%까지 급감하였으나⁸⁾, 우리나라에서는 500%이상 급증하여 문제가 심각하다고 할 수 있다. 그리고, 2003년 국민구강건강실태 조사에 의하면⁷⁾ 15세 청소년의 경우에는 우식경험영구치지수가 1990년에 4.09 개, 1995년에 4.86개, 2000년에 4.79개, 2003년에 4.86개로 집계되었다. 또한, 장년층 (35~44세)의 경우 1990년에 4.48개, 1995년에 4.25개, 2001년에 4.64개, 2003년에 6.03개로 나타났으며, 노인층 (65~74세)의 경우 1990년에 11.71개, 1995년에 12.30개 그리고 2001년에 11.94개, 2003년 11.04개로 나타나 지난 10년사이 어린 이군과 장년층에서 치아우식증이 증가하였으며, 연령이 증가함에 따라 영구치 우식률이 증가함을 알 수 있다. 실제로 2003년 영구치우식경험자율이 14세 이후부터는 80%를 넘어서고, 노인연령 (65~74세)에 이르면 93%까지 증가하였다.

* 교신저자 : 유용욱, 익산시 신용동 344-2, 원광대 치과대학 구강생화학교실

· E-mail : hope7788@wonkwang.ac.kr, · Tel : 063-850-6926

· 접수 : 2006/11/14 · 수정 : 2007/01/12 · 채택 : 2007/02/02

치아우식증은 치은연상 및 치은연하 치면세균막에 의하여 주로 유발되는데, 치면세균막에는 많은 함량의 미생물이 존재하는 것으로 알려져 있다. 치면세균막내 미생물 중 *Streptococcus mutans* (*S. mutans*)는 치면세균막형성에 가장 중요한 역할을 하는 원인균으로 알려져 있으며, *S. mutans*는 치아우식을 일으키는 주요 원인균으로 주목받고 있다⁹⁾. *S. mutans*는 치면세균막에 상주하며 당질을 대사하여 유기산 주로 젖산을 방출함으로써 치아 법랑질을 탈회시킬 뿐만 아니라 치아의 경조직을 파괴하고, 미생물에 대한 인체의 염증 반응은 치주병을 유발하는 것^{9,10)}으로 보고된 바 있다.

독활 (*Aralia continentalis* KITAGAWA)은 동의보감에 치통, 치주병 및 치은염의 치료에 사용한다고 기록되어 있으며^{11,12)} 본 연구실에서는 독활 메탄을 추출물¹³⁾과 이로부터 분리한 continentalic acid¹⁴⁾의 *S. mutans*의 성장과 산 생성 억제 효과, 타액으로 도말된 hydroxyapatite bead에 대한 부착억제와 비수용성 글루칸 합성 억제를 관찰하여 보고한 바 있다. 본 연구에서는 독활의 메탄을 추출물로부터 또 다른 항치아우식 활성 물질인 stigmasterol을 분리하여 이들의 화학구조를 규명하였기에 보고하고자 한다.

재료 및 방법

1. 활성물질의 분리

1) 독활 메탄을 추출물과 분획

독활 메탄을 추출과 분획 실험방법은 앞선 연구¹⁴⁾와 같다. 즉, 독활은 익산시 대학한약국에서 구입한 후 냉암소에 보관하여 사용하였다. 건조하여 세척한 독활 5 kg을 MeOH에 침지하여 상온에서 7일간 3회 추출하였다. 추출용액을 Whatman No. 2 여과지로 여과한 다음 38-45°C에서 김압농축하여 MeOH 추출물을 481.7 g (9.6%)을 얻었다. 그 후 MeOH 추출물을 250 g을 증류수에 혼탁시켜 CHCl₃, EtOAc, n-BuOH 순으로 분획 후 농축하여 CHCl₃ 분획물 (65 g), EtOAc 분획물 (9 g), n-BuOH (75 g) 및 H₂O 분획물 (120 g)을 얻었다. 이 중 가장 강한 활성을 갖는 CHCl₃ 분획 (60 g)을 취하여 활성물질 분리를 실시하였다(Fig. 1).

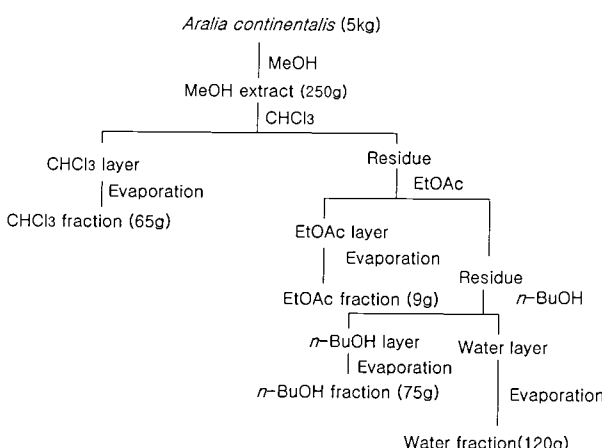


Fig. 1. Solvent fractionation flow chart of *A. continentalis*.

2) 활성물질의 분리 및 정제

가장 활성이 높은 CHCl₃ 분획물을 선택하여 silica gel (230-400 mesh, ASTM, Art. 9385, 200 g, 3×80 cm)이 층진된 컬럼에 넣어 n-hexane-EtOAc (9:1 (1 L), 5:1 (0.5 L), 2:1 (0.5 L), 1:1 (0.5 L)) 그리고 EtOAc 100% 용매계로 단계적으로 극성을 높여 용출시켜 50 mL 씩 94개를 얻은 TLC를 실시하여 7개의 소분획으로 나누었다. 항균효과를 나타낸 fraction 3으로부터 활성 성분을 규명하기 위해 계속해서 prep-LC (JAIGEL-1H column, 용매 CHCl₃, 유속 3 ml/min, 220 nm)를 시행하여 무색 침상의 화합물을 얻었다 (Fig. 2).

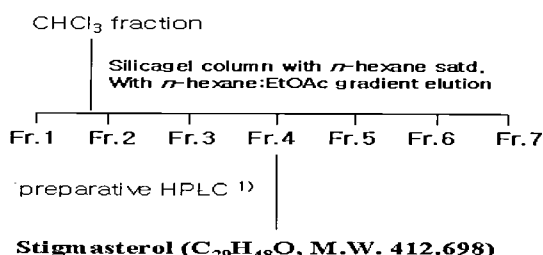


Fig. 2. Isolated procedure of continentalic acid from *A. continentalis*.
1) Column: JAIGEL-1H, Solvent: CHCl₃, Flow rate: 3ml/min, Detector:UV(220 nm)

Stigmasterol; colorless amorphous solid, mp 164-165°C, [α]_D²⁵ -48.3°C (c 0.28, CHCl₃) ¹H-NMR (300MHz, CDCl₃) δ: 3.53(1H, d, J=5.4Hz, H-6), 3.53(1H, m, H-3), 1.01 (3H, s, H-19), 0.67 (3H, s, H-18). ¹³C-NMR (75MHz, CDCl₃) δ 141.2 (C-5), 138.7 (C-22), 129.7 (C-23), 122.1 (C-6), 72.2 (C-3), 56.6 (C-14), 56.4 (C-17), 51.6 (C-24), 50.5 (C-9), 42.7 (C-4), 42.6 (C-13), 40.9 (C-20), 40.2 (C-12), 37.7 (C-1), 36.9 (C-10), 32.3 (C-7, 8, 25), 32.0 (C-2), 28.7 (C-16), 25.8 (C-28), 24.7 (C-15), 21.5 (C-21), 19.8 (C-11, 27), 19.4 (C-19), 19.3 (C-26), 12.4 (C-29), 12.3(C-18).

3) 시약 및 기기

추출 및 open column용 용매는 1급 시약을 정제 없이 사용하였고, column용 지지체인 silica gel은 Kisegel 60 (230-400 mesh, ASTM, Art. 9385, Merck, Germany)을 사용하였다. TLC plate는 Kisegel 60F254 precoated plate (Art. 5552 Merck)를 사용하였다. 분취용 LC는 JAI 908 model (Japan Analytical Instrument)로서 UV 및 RI 검출기를 동시에 사용하였고, column은 JAIGEL 1H (20 × 900mm)와 2H (20 × 900mm)를 연결하여 사용하였다. 융점은 Gallenkamp melting point apparatus를 사용하였으며 온도는 보정하지 않았다. 구조동정을 위해 사용된 ¹H 및 ¹³C-NMR spectra는 Bruker의 (Germany) AVANCE 300과 500 MHz의 것을 사용하였다. 또한 선광도 측정은 JASCO DIP-1000 digital polarimeter로 측정 하였다.

2. 항치아우식 실험

1) 균주 및 배양

본 실험에 사용한 균주는 *Streptococcus mutans* ATCC 25175로 Brain heart infusion (BHI, Difco, USA) 액체배지에 1-2 차 계대배양 후 같은 배지에 식균하여 37°C의 항온기에서 24시

간 배양하여 사용하였다.

2) *S. mutans*의 성장과 산생성 억제 실험

1%의 glucose가 들어 있는 BHI 액체배지에 시료를 첨가한 후 균을 1×10^8 CFU/ml이 되게 접종하였다. 37°C의 항온기에서 24시간 배양한 후 BHI 액체배지를 기준으로 ELISA reader (Molecular Devices Co., CF., U.S.A.)를 이용하여 550 nm에서 흡광도를 측정하였으며, pH meter (ORIONSA 720, U.S.A.)를 이용하여 pH를 측정하여 산 생성 억제 효과를 관찰하였다. 대조군은 시료를 넣지 않고 시행하였다.

3) 타액준비

타액은 건강한 성인 남자로부터 파리핀와스로 자극하여 분비된 것을 냉각된 비이커에 채취한 다음, 채취된 타액은 원심분리 (12,000 rpm, 4°C, 15분)하여 상청액을 취한 다음, 분해효소를 불활성화시키기 위하여 60°C에서 30분간 처리한 후, -20°C에 보관하면서 사용하였다.

4) 타액으로 도말된 hydroxyapatite bead (S-HA)에 부착 억제 실험

Hydroxyapatite beads (Bio-Rad Lab., U.S.A.) 30 mg을 증류수로 5회 세척하여 작은 입지를 제거한 후 37°C에서 건조시켜 사용하였다. 건조된 hydroxyapatite bead 30 mg을 1 ml의 타액으로 37°C에서 60분간 처리하여 타액을 bead에 코팅시켰다. 그 후 S-HA를 0.1 M potassium phosphate buffer (KPB, pH 7.0)로 3회 세척한 후 stigmasterol을 각각의 농도별로 넣고, *S. mutans*를 1×10^7 CFU/ml이 되게 넣은 다음 37°C의 흡들리는 배양기에서 90분 동안 S-HA에 부착 시켰다. 그 후 0.1 M KPB (pH 7.0)로 3회 세척한 후 초음파 장치 (50W, 30초)를 이용해 S-HA에 부착된 균을 떨어지도록 하였다. 그 다음 균액을 희석하여 *Mitis salivarius* agar plate (Difco Laboratories, U.S.A.)에 도말하여 37°C 항온기에서 24시간 동안 배양시켜 집락수를 세었다. 대조군은 stigmasterol을 넣지 않고 시행하였다.

5) Glucosyltransferase (GTFase)의 준비

다음과 같은 방법으로 GTFase를 얻는다. *S. mutans*를 BHI 액체배지 2 L에 배양한 후, 원심분리 (15,000 rpm, 4°C, 20분)하여 상청액을 취한 후 60~70% ammonium sulfate를 넣은 후 다시 원심분리 (15,000 rpm, 4°C, 20분)하여 단백질을 가라앉혔다. 이 단백질에 0.1 M KPB (pH 6.0)을 4시간마다 바꾸어 주며, 4°C에서 24시간동안 투석시킨 후 냉동보관 (-80 °C)하였다가 사용하였다.

6) GTFase에 의한 비수용성 글루칸 합성 억제능 검사

0.04% sodium azide를 첨가한 0.4 M KPB (pH 6.0)을 0.25 ml 취하여, 0.25 ml의 0.4 M 자당용액, 0.25 ml의 각 농도별 stigmasterol을 넣고, GTFase를 넣어 최종 1 ml이 되게 하였다. 37°C에서 18시간 배양한 후 증류수로 세척한 후 글루칸을 떼어 내기 위하여 초음파장치 (40W, 4초)를 이용하였다. 그 후 5% phenol을 1 ml, 진한 H₂SO₄를 5 ml 넣어준 후 30분간 반응시킨 후 ELISA reader (Molecular Devices Co., CF., U.S.A.)를 이용하여 490 nm에서 흡광도를 측정하였다. 대조군은 stigmasterol을 넣지 않은 균을 대조군으로 하였다.

3. 통계처리

실험은 모두 3회 반복하였으며, 억제비율은 [(대조군-실험군)/대조군]×100의 식을 이용하여 계산하였다. 얻은 결과는 통계

프로그램인 SPSS (ver 10.0)를 사용하여 평균과 표준편차로 제시하였으며, $\alpha=0.05$ 수준에서 실험군과 대조군의 평균치를 independent sample t-test로 유의성을 검증하였다.

결 과

1. 구조동정

Column chromatography와 prep-HPLC로 분리한 화합물은 mp가 164-165°C인 무색 침상 ¹H-NMR spectrum에서 olefine methine signal이 δ 5.37에서 관찰되었고, δ 3.53에서 oxygenated methine signal이 나타내었으며 또한, 많은 methylene signal proton들이 δ 2.78-1.29에서 관측되어 sterol임을 예측할 수 있었다. ¹³C-NMR spectrum에서 29개의 탄소의 signal이 관측되었으며, δc 138.7 및 129.7에서 olefine methine signal로 한 쌍의 이중 결합이 있는 것을 확인 할 수 있었고, 또한 δc 72.2에서 oxygenated methine signal도 관측되었다. 그리고 methyl의 signal이 (δc 14.2 - 19.8)과 methylene signal (δc 34.1 - 20.5)들의 주요 peak도 관찰되었다. 그리고 고 자장 영역에서 quaternary 3개, methine 11개, methylene 9개, methyl 6개의 signal이 관찰되었다. 이와 같은 결과들을 종합하고, 기존의 문헌의 ¹⁵ spectral data들과 비교하여 (24E)-stigmasta-5,22-diene-3β-ol 즉, stigmasterol으로 동정하였다.(Table 1, Fig. 3).

Table 1. ¹H and ¹³C NMR data for stigmasterol

Positions	¹ H-NMR	¹³ C-NMR	HMBC
1		37.7	C-2, C-3,
2		32.0	C-1,C-3, C-4
3	3.53(1H, m)	72.2	C-1, C-4
4		42.7	C-3, C-5, C-10
5		141.2	-
6	3.53(1H, d, J=5.4Hz)	122.1	C-7, C-8
7		32.2	C-6, C-8
8		32.2	C-9, C-11, C-14
9		50.5	C-11, C-19
10		36.9	-
11		19.8	C-19, C-12,C-9
12		40.2	C-18, C-11, C-13
13		42.6	-
14		56.6	C-8, C-15
15		24.7	C-14, C-16
16		28.7	C-15, C-17
17		56.4	C-18, C-16, C-21
18	0.67(3H, s)	12.3	C-12, C-13, C-21
19	1.01(3H, s)	19.4	C-10, C-11, C-1
20		40.9	C-17, C-21, C-22
21		21.5	C-20, C-18
22		138.7	C-23, C-20
23		129.7	C-22, C-24, C-28
24		51.6	C-23, C-27
25		32.3	C-27, C-26
26		19.3	C-27
27		19.8	C-25, C-26
28		25.8	C-24, C-29
29		12.4	C-26, C-28

Coupling constant values (in parentheses) are in Hz, ¹H-NMR spectra data for compound (300MHz, CDCl₃), ¹³C-NMR and HMBC spectra data for compound (500MHz, CDCl₃)

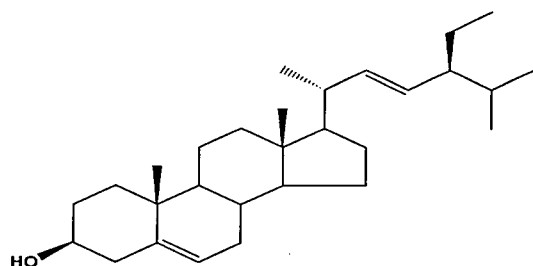


Fig. 3. Chemical structure of stigmasterol

2. Stigmasterol의 *S. mutans* 성장억제에 미치는 효과

Stigmasterol의 *S. mutans*에 대한 항균 활성을 관찰하기 위하여 BHI 액체배지에 stigmasterol을 각각 1.25, 2.5, 5, 10, 20 $\mu\text{g}/\text{ml}$ 의 농도로 첨가한 후, *S. mutans*를 접종하여 37°C 항온기에서 24시간 배양한 후 흡광도를 측정한 결과는 Fig. 4와 같다. Stigmasterol를 넣지 않은 대조군에서 0.223 \pm 0.003 흡광도를 나타내었다. 그런데, 1.25 $\mu\text{g}/\text{ml}$ 농도에서 0.211 \pm 0.003 흡광도를 나타내고, 2.5 $\mu\text{g}/\text{ml}$ 농도에서는 0.183 \pm 0.006, 5 $\mu\text{g}/\text{ml}$ 농도에서는 0.052 \pm 0.005, 10 $\mu\text{g}/\text{ml}$ 에서는 0.0001 \pm 0.0001, 20 $\mu\text{g}/\text{ml}$ 에서는 0.0001 \pm 0.0001를 나타내어, 1.25 $\mu\text{g}/\text{ml}$ 이상 농도에서 대조군에 비하여 통계적으로 유의한 차이를 나타내었다 ($p<0.05$). 대조군에 비하여 각각 5%, 18%, 77%, 100%, 100%의 성장억제 효과를 나타내었다.

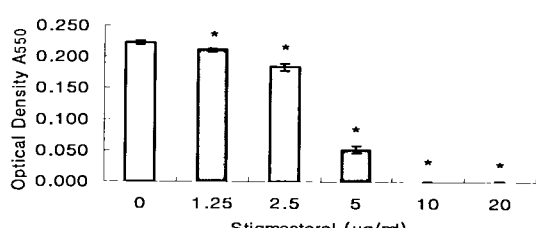


Fig. 4. The optical density of *Streptococcus mutans* by various concentrations of stigmasterol. The optical density of A550 were read by a spectrophotometer. * $p<0.05$ was statistically significant as determined by independent sample t-test for the mean values different from the control group.

3. Stigmasterol의 *S. mutans* 산 생성 억제에 미치는 효과

Stigmasterol 첨가에 따른 *S. mutans*에 의한 유기산 생성 억제 효과를 알아보기 위해 1.25, 2.5, 5, 10, 20 $\mu\text{g}/\text{ml}$ 농도의 시료에 *S. mutans*를 접종하여 24시간 배양 후에 pH meter로 pH를 측정한 결과는 Table 2와 같다. Stigmasterol을 넣지 않은 대조군에서 pH는 5.22 \pm 0.08을 나타내었다. Stigmasterol은 1.25 $\mu\text{g}/\text{ml}$ 농도에서 5.22 \pm 0.07, 2.5 $\mu\text{g}/\text{ml}$ 농도에서는 5.30 \pm 0.10, 5 $\mu\text{g}/\text{ml}$ 농도에서는 5.94 \pm 0.04, 10 $\mu\text{g}/\text{ml}$ 농도에서는 6.98 \pm 0.11, 20 $\mu\text{g}/\text{ml}$ 농도에서는 7.14 \pm 0.11로, 5 $\mu\text{g}/\text{ml}$ 이상 농도에서 대조군에 비하여 통계적으로 유의한 차이를 나타내었다 ($p<0.05$).

4. Stigmasterol의 S-HA 부착 억제에 미치는 효과

Stigmasterol가 S-HA에 *S. mutans* 부착 억제 효과가 있는지 알아본 결과 (Fig. 5) 대조군은 135.33 \pm 2.08 ($\times 10^5$) CFU/ml이었으며, stigmasterol 1.25 $\mu\text{g}/\text{ml}$ 농도에서는 131.67 \pm 1.53 ($\times 10^5$)

CFU/ml, 2.5 $\mu\text{g}/\text{ml}$ 농도에서는 113.00 \pm 2.00 ($\times 10^5$) CFU/ml, 5 $\mu\text{g}/\text{ml}$ 농도에서는 93.67 \pm 4.01 ($\times 10^5$) CFU/ml, 10 $\mu\text{g}/\text{ml}$ 농도에서는 64.33 \pm 2.08 ($\times 10^5$) CFU/ml, 20 $\mu\text{g}/\text{ml}$ 농도에서 62.67 \pm 1.58 ($\times 10^5$) CFU/ml로 2.5 $\mu\text{g}/\text{ml}$ 이상 농도에서 대조군에 비하여 부착하는 균수가 유의하게 낮았다 ($p<0.05$).

Table 2. The pH of *Streptococcus mutans* by the various concentrations of stigmasterol

Conc.($\mu\text{g}/\text{ml}$)	
Control	5.22 \pm 0.081
1.25	5.22 \pm 0.07
2.5	5.30 \pm 0.10
5	5.94 \pm 0.04*
10	6.98 \pm 0.11*
20	7.14 \pm 0.11*

* Value represent the Mean \pm SD obtained from triplicate experiment. * $p<0.05$ was statistically significant as determined by independent sample t-test for the mean values different from the control group

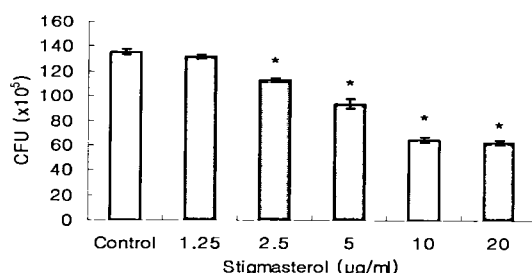


Fig. 5. The colony forming unit (CFU) of *Streptococcus mutans* to the 30 mg saliva-coated hydroxyapatite beads by various concentrations of stigmasterol. * $p<0.05$ was statistically significant as determined by independent sample t-test for the mean values different from the control group.

5. Stigmasterol의 GTFase에 의한 비수용성 글루칸 합성 억제에 미치는 효과

Stigmasterol가 비수용성 글루칸 합성 저해 효과가 있는지 알아본 결과는 Fig. 6과 같다. Stigmasterol는 대조군에 비해 1.25, 2.5, 5, 10, 20 $\mu\text{g}/\text{ml}$ 각각의 농도에서 98.00 \pm 1.00%, 90.00 \pm 1.00%, 75.67 \pm 2.08%, 67.00 \pm 2.00%, 54.00 \pm 1.00%의 생성을 보여, 2.5 $\mu\text{g}/\text{ml}$ 이상 농도에서 대조군에 비하여 통계적으로 유의한 차이를 나타내었다 ($p<0.05$).

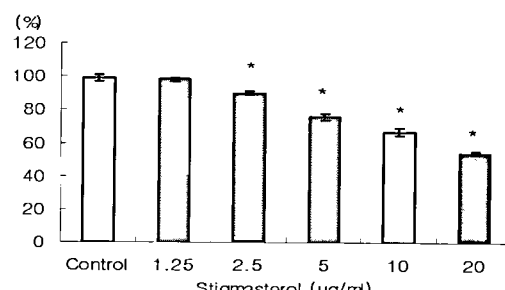


Fig. 6. Rate of loss insoluble glucan of *Streptococcus mutans* by the various concentrations of stigmasterol. * $p<0.05$ was statistically significant as determined by independent sample t-test for the mean values different from the control group.

고 찰

본 연구에서는 앞선 연구에서 발표한 독활의 추출물의 CHCl₃ 분획물로부터 또 다른 항균 활성이 높은 물질을 분리하여 이 단일 화합물에 대한 구조 해석을 기기분석 (MS, ¹H-NMR, ¹³C-NMR)을 통해서 진행한 결과 stigmasterol로 최종 동정하였다.

Stigmasterol 1.25, 2.5, 5, 10, 20 µg/ml의 농도별 시료에 대한 *S. mutans*에 대한 성장억제율이 5%, 18%, 77%, 100%, 100%의 성장억제 효과를 나타내 1.25 µg/ml 이상 농도에서 대조군에 비하여 통계적으로 유의한 차이를 나타내었는데 ($p<0.05$), 특히 10µg/ml 과, 20 µg/ml 농도에서는 100%의 성장억제 효과를 나타내었다. Continentalic acid가 0.25, 0.5, 1, 2, 4 µg/ml 농도에서 대조군에 비하여 각각 36%, 40%, 50%, 81%, 93%의 유의적인 성장억제 효과를 나타낸 것¹⁴⁾에 비하면 낮은 항균 효과이지만 암척초로부터 분리한 1-carbomethoxy-β-carboline, norharman, harman의 *S. mutans*에 대한 MIC 값이 각각 100 µg/m¹⁶⁾이며, propolis가 *S. mutans*에 대해 80%이상 억제율을 보이는 농도가 31.3µg/ml¹⁷⁾라고 보고되어 이들의 성장억제 효과 비하면 높은 항균활성이라 할 수 있다.

산생성 억제 실험에서도, stigmasterol를 넣지 않은 대조군에서는 5.22±0.08을 나타내었으나 stigmasterol는 1.25, 2.5, 5, 10, 20 µg/ml 농도에서 각각 5.22±0.07, 5.30±0.10, 5.94±0.04, 6.98±0.11, 7.14±0.11을 나타내어 *S. mutans*에 의한 유기산 생성을 농도 의존적으로 억제하였음을 보여주었다. 특히 5 µg/ml이상 농도에서는 대조군에 비해 유의적으로 유기산 생성을 억제하였으며 ($p<0.05$), 우식 임계 pH를 넘어 효과적이었다.

각 농도별 stigmasterol가 치아표면의 세균 부착을 억제하는지 알아보기 위해 S-HA에 대한 부착 억제 효과를 확인한 결과 대조군에서는 135.33±2.08 ($\times 10^5$) CFU/ml이 부착한 반면, 1.25, 2.5, 5, 10, 20 µg/ml 각각의 농도에서는 131.67±1.53 ($\times 10^5$) CFU/ml, 113.00±2.00 ($\times 10^5$) CFU/ml, 93.67±4.01 ($\times 10^5$) CFU/ml, 64.33±2.08 ($\times 10^5$) CFU/ml, 62.67±1.58 ($\times 10^5$) CFU/ml의 부착을 보여, 대조군에 비해 각각 3%, 17%, 31%, 52%, 54%의 부착 억제율을 보였으며, 그리고 비수용성 글루칸 합성 실험을 한 결과를 보면 stigmasterol는 1.25, 2.5, 5, 10, 20 µg/ml 농도에서 대조군에 비해 각각 98.00±1.00%, 90.00±1.00%, 75.67±2.08%, 67.00±2.00%, 54.00±1.00%의 생성율을 보여, S-HA 부착억제와, 비수용성 글루칸 합성은 2.5 µg/ml이상 농도에서 대조군에 비하여 유의한 차이가 있었다 ($p<0.05$).

이상의 결과를 종합해 보면, 독활로부터 분리한 stigmasterol은 *S. mutans*의 성장 억제, 유기산의 생성 억제, S-HA에 대한 부착억제, 비수용성 글루칸 합성 억제에 효과가 있음을 알 수 있었다. 이에, stigmasterol의 의학적, 산업적으로 유용한 소재로의 연구와 독활의 다른 구성성분의 항치아우식 효과에 대해서 순수정제 과정을 거쳐 연구가 더욱 진행되어야 할 것으로 사료된다.

결 론

독활에서 항치아우식 활성 물질을 분리하기 위해 독활을 메탄올로 추출하고 계통분획을 실시하여 하여 CHCl₃, EtOAc,

n-BuOH 및 H₂O의 4가지 분획으로 나누어 항균 활성을 측정한 결과 CHCl₃ 분획의 활성이 가장 높아 silica gel column chromatography, recycling preparative HPLC를 이용한 결과 단일 화합물을 얻었다. 이 화합물에 대한 구조 해석을 기기분석 (MS, ¹H-NMR, ¹³C-NMR)을 통해 stigmasterol로 동정하였다. Stigmasterol에 대한 *S. mutans*의 성장과 산 생성 억제 효과, S-HA에 대한 부착억제와 비수용성 글루칸 합성 억제를 측정하고 다음과 같은 결과를 얻었다.

*S. mutans*의 성장억제율이 stigmasterol를 넣지 않은 대조군에 비해 stigmasterol는 1.25, 2.5, 5, 10, 20 µg/ml 농도에서 대조군에 비하여 5%, 18%, 77%, 100%, 100%의 성장억제율을 보여 1.25 µg/ml 이상 농도에서 대조군에 비하여 통계적으로 유의한 차이를 나타내었다 ($p<0.05$). *S. mutans*의 산 생성량은 대조군에서 pH는 5.22±0.08이었고, stigmasterol 1.25, 2.5, 5, 10, 20 µg/ml 농도에서, 각각 5.22±0.07, 5.30±0.10, 5.94±0.04, 6.98±0.11, 7.14±0.11으로 5 µg/ml 이상 농도에서 우식 임계 pH 5.5보다 높았으며, 대조군에 비하여 통계적으로 유의한 차이를 나타내었다 ($p<0.05$). S-HA에 *S. mutans* 부착율이 stigmasterol 1.25, 2.5, 5, 10, 20 µg/ml 농도에서 대조군에 비해 각각 3%, 17%, 31%, 52%, 54%의 부착억제율을 보여 2.5 µg/ml이상 농도에서 대조군에 비하여 유의한 차이가 있었다 ($p<0.05$). GTFase에 의한 비수용성 글루칸 정량 실험을 한 결과 대조군에 비해 stigmasterol 1.25, 2.5, 5, 10, 20 µg/ml 농도에서 각각 98.00±1.00%, 90.00±1.00%, 75.67±2.08%, 67.00±2.00%, 54.00±1.00%의 생성율을 보여, 2.5 µg/ml이상 농도에서 대조군에 비하여 유의한 차이가 있었다 ($p<0.05$).

이상의 결과를 토대로 하여 볼 때, 독활로부터 추출한 stigmasterol은 *S. mutans*의 성장 억제, 유기산의 생성 억제, S-HA에 대한 부착억제, 비수용성 글루칸 합성 억제에 효과가 있으므로, 앞으로 의학적, 산업적으로 유용한 개발 효과를 기대할 수 있을 것으로 보인다.

감사의 글

이 논문은 2005년도 원광대학교의 교비 지원에 의해 수행되었음.

참고문헌

- 한국구강보건협회. 한국인 구강질환 실태조사 결과보고, 1976.
- 김무길. 대도시인의 구강보건실태 및 상대구강보건의료수요 조사연구. 대한구강보건학회지, 4(1):19-44, 1980.
- 박종만. 소도시인의 구강보건실태 및 상대구강보건의료수요 조사연구. 대한구강보건학회지, 5(1):7-33, 1981.
- 오상일, 김종배. 비도시인의 구강보건실태 및 상대구강보건 의료수요 조사연구. 대한구강보건학회지, 5(1):55-82, 1981.
- 김종배 외. 국민구강건강조사 보고서, 1991.
- 국민구강보건연구소. 1995년 국민구강건강조사보고서, 1995.
- 보건복지부. 2003년 국민구강건강실태조사보고서. 2004.

8. <http://www.who.int/세계보건기구>, 2001.
9. Tsuneno, N., Masa, T., Masao, H. Dental caries prevention by traditional chinese medicines. Plant Med 44:100-106, 1982.
10. 김종배, 최유진. 공중구강보건학. 서울, 고문사, pp 68-84, 1990.
11. 허준 편. 원자 동의학 연구소 역. 동의보감. 서울, 여강출판사, p 773, 1994.
12. 허준 편. 동의보감 국역 위원회 역. 동의보감. 서울, 법인문화사, p 1632, 1999.
13. 유현희, 서세정, 김연화, 이혜연, 금기천, 나종찬, 전병훈, 유용욱. 독활 메탄올 추출물의 *Streptococcus mutans*에 대한 성장, 산생성, 부착 및 비수용성 글루칸 합성 억제에 미치는 영향. 동의생리병리학회지, 19(1):87-91, 2003.
14. 유현희, 정승일, 정수영, 문해닮아, 황지영, 정한솔, 유용욱 독활로부터 분리한 continentalic acid의 항치아우식 활성. 동의 생리병리학회지, 20(3):617-622, 2006.
15. Kang, S.S., Park, J.G., Hyun, J.W., Sung, M.S., Yang, Y.M., Chang, H.S., Paik, W.H. The cytotoxic activity of sterol derivatives from *Pulsatilla Chinensis* Regal, J Kor Cancer 28(1):146-150, 1996.
16. Bae, K.H., Seo, W.J., Kwon, T.H., Baek, S.H., Lee, S.W., Jin, K.D. Anticariogenic β -carboline alkaloids from *Commelina communis*. Arch Pharm Res 15(3):220-223, 1992.
17. Koo, H., Gomes, B.P., Rosalen, P.L., Ambrosano, G.M., Park, Y.K., Cury, J.A. In vitro antimicrobial activity of propolis and *Arnica montana* against oral pathogens. Arch Oral Biol 45(2):141-148. 2000.